

Fig. 9.18 Efeito do ângulo de ataque na configuração do escoamento e distribuição teórica de pressão, para um aerofólio simétrico de escoamento laminar, com 15 por cento de razão entre espessuras. (Dados de [19].)

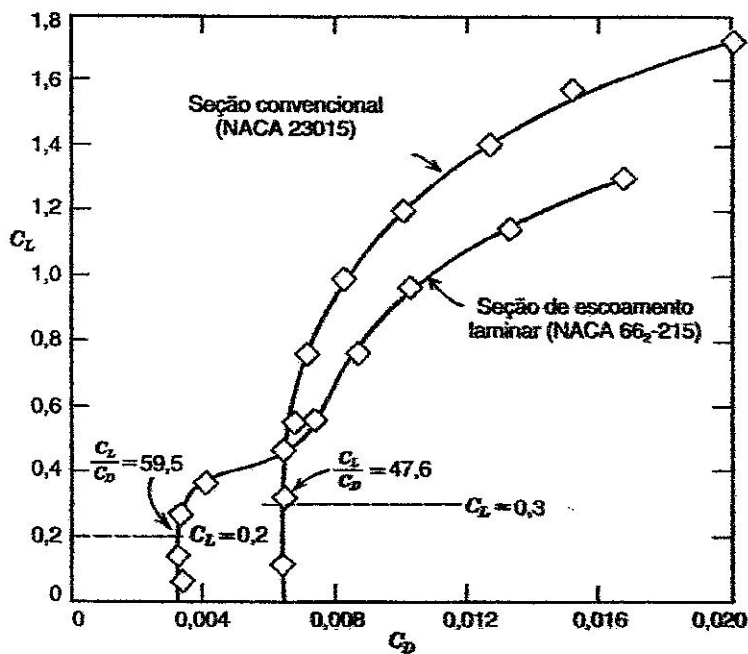


Fig. 9.19 Polares sustentação-arrasto para duas seções de aerofólios com 15 por cento de razão entre espessuras. (Dados de [19].)